

基于脉冲神经网络的医疗数据分析综述

李晓雪¹, 张潇凡¹, 易欣¹, 刘丹¹, 王贺¹, 张博文¹, 赵地^{2,3}, 王立群^{1*}

1. 中国石油大学(北京)理学院, 北京 102249; 2. 中国科学院计算技术研究所, 北京 100190;

3. 中国科学院大学, 北京 100049

摘要: 医疗数据主要包括各类生物医学信号和医疗影像, 专业医生可以通过医疗数据对患者身体状况做出判断。然而医疗数据的判读需要大量的人工成本且可能存在误判情况, 因此有很多学者利用神经网络和深度学习进行医疗数据的分类和研究, 进而提高医生工作效率和准确率、及早发现疾病实现早期诊断等, 因此具有广泛的应用前景。但是传统神经网络存在能耗高、高延迟(计算速度慢)等缺点。文章介绍了近年来基于第三代神经网络——脉冲神经网络, 利用医疗数据, 如脑电信号、心电信号、肌电信号和磁共振图像等, 在信号分类和疾病诊断等方面的研究, 总结了脉冲神经网络相比于传统网络的优缺点, 并展望了将来发展方向。

关键词: 脉冲神经网络; 计算机辅助诊断(CAD); 医疗数据; 脑电信号(EEG); 心电信号(ECG); 肌电信号(EMG); 磁共振图像(MRI)

Review of medical data analysis based on spiking neural networks

Li Xiaoxue¹, Zhang Xiaofan¹, Yi Xin¹, Liu Dan¹, Wang He¹, Zhang Bowen¹, Zhao Di^{2,3}, Wang Liquan^{1*}

1. College of science, China University of Petroleum, Beijing 102249, China;

2. Institute of Computing Technology, Chinese Academy of Sciences, Beijing 100190, China;

3. University of Chinese Academy of Sciences, Beijing 100049, China

Abstract: Medical data mainly includes various biomedical signals and medical images, and doctors can make judgments on the physical condition of patients through medical data. However, the interpretation of medical data requires a lot of labor costs and may be misjudged, so many scholars use neural networks and deep learning to classify and study medical data, thereby improving doctors' work efficiency and accuracy, achieving early detection of diseases and early diagnosis, so it has a wide range of application prospects. However, traditional neural networks have disadvantages such as high energy consumption and high latency (slow calculation speed). This paper introduces the research on signal classification and disease diagnosis based on the third-generation neural network - pulse neural network in recent years, using medical data, such as electroencephalogram (EEG), electrocardiogram (ECG), electromyography (EMG), magnetic resonance imaging (MRI), etc., summarizes the advantages and disadvantages of pulse neural networks compared with traditional networks, and looks forward to the future development direction.

Key words: spiking neural network; computer-aided diagnosis(CAD); medical data; electroencephalogram(EEG); electrocardiogram(ECG); electromyography(EMG); magnetic resonance images(MRI)

OCIS:

基金项目: 国家自然科学基金(12171482)

Supported by: the National Natural Science Foundation of China (No. 12171482)

0 引言

随着科学技术的发展和水平的提高,人类对健康的追求也越来越高,目前利用脑电信号(EEG)、心电信号(ECG)、肌电信号(EMG)、磁共振图像(MRI)等生物医学数据对身体状况进行分析的技术已经比较成熟。然而这些判读工作需要专业的医务人员,同时比较耗时和繁琐,医生很容易感到疲劳,为了减轻医生的工作,提高效率和准确率,将计算机辅助诊断(CAD)应用于医疗健康是必然的。

近年来已经有很多研究将机器学习用于生物医学图像以及电信号分析(陈弘扬等,2021;张巧丽等,2017),由于传统人工神经网络虽然以生物神经元为灵感,但是不具备生物可解释性,需要大量的计算和能耗,不利于实时和快速对医疗数据进行分析。随着神经网络的发展,第三代神经网络——脉冲神经网络(SNN)应运而生。虽然存在训练困难、精确度相对较低的问题,但是SNN更具生物可解释性的网络结构和训练规则,使得其具有能耗更低,速度更快,更适用于时空数据的优点。因此利用脉冲神经网络进行医疗数据的研究具有重要意义。

本文介绍了脉冲神经网络的基本结构和常见的算法和模型,综述了脉冲神经网络在医疗数据方面的最新研究进展和应用情况,涉及的内容包括EEG、EMG、ECG、MRI等。最后对这些分析方法进行了总结,并预测了将来研究趋势和可能发展方向。

1 脉冲神经网络理论基础

1.1 脉冲神经网络结构

大脑中的生物神经元主要由三部分构成:树突、体细胞和轴突。其中树突起输入作用,可以将来自其他神经元的信号传递到体细胞。体细胞是中央处理单元,进行信息处理。体细胞的输出信号经由轴突以脉冲形式释放,突触后神经元接收脉冲信号以后,膜电压发生变化,当超过阈值电压时,突触后神经元释放脉冲(Gerstner等,2014)。Hodgkin和Huxley(1952)对乌贼巨型轴突进行实验,主要研究钾离子、钠离子和氯离子与膜电压的关系,将生物细胞抽象为神经元模型,即HH模型,HH模型

具有大量生物细节并且计算成本较高。在此之后,人们提出了很多简化的神经元模型,例如Leaky Integrate-and-Fire(LIF)模型(Delorme等,1999)、Izhikevich神经元模型(Izhikevich,2003)等。

脉冲神经元是对生物神经元的简化,脉冲神经元之间通过突触连接,释放脉冲进行信息传递,脉冲可以是兴奋的也可以是抑制的,突触的权重可以通过网络学习进行自动调整(Gerstner等,2014)。

1.2 常用算法及模型介绍

1.2.1 突触可塑性规则(STDP)

突触可塑性规则(Spike Timing Dependent Plasticity, STDP)是脉冲神经网络特有的学习规则,同时符合人类大脑的认知和学习规律。STDP根据突触前和突触后神经元发放脉冲的时间先后来调节突触权重——当突触前神经元在突触后神经元前不久发放脉冲时,会引起长时增强作用(long-term potentiation, LTP),对应突出权重变大,否则会引起长时抑制作用(long-term depression, LTD),导致突出权重减小,并且间隔时间越短变化量越大(Song等,2000)。

1.2.2 NeuCube 模型

Kasabov(2014)提出的NeuCube模型,主要用来处理时空数据,如EEG、fMRI等。NeuCube是基于大脑结构的三维脉冲神经网络模型(3D-Spiking Neural Network, 3D-SNN),主要分成三个模块:

1.编码模块——将时空数据编码为脉冲序列并映射到下一模块。

2.三维蓄水池模块(SNN reservoir, SNNr)——SNNr是基于大脑结构构建的三维脉冲神经网络,神经元初始连接按照小世界原则(Bullmore等,2009),训练采用无监督STDP规则。

3.分类模块——一般是通过进化脉冲神经网络(evolutionary SNN, eSNN)分类器(Kasabov,2007)进行监督学习。

其中,SNNr模块构建了类似大脑结构的3D模型,不仅提高了时空数据的分类准确率,还可以显示神经元间的活动轨迹,反应大脑不同功能区的连通性,使得神经网络不再是黑盒子,而具有很好的解释性,帮助人类更好了解大脑的功能。

2 脑电信号分析

大脑是人体最重要的部位之一,脑电信号(EEG)是大脑日常活动产生的电信号,可以利用脑电信号

进行分类任务、疾病研究和预测。脑电信号的获取可以通过将电极放在头皮处进行数据采集。目前已经采集了大量不同类型的脑电数据集可供研究，如用于情绪识别的DEAP数据集(Koelstra等, 2012)、运动想象数据集BCI Competition IV (Brunner等, 2008)、Sleep-EDF睡眠数据集(Kemp等, 2000)等。

2.1 分类任务

2.1.1 情绪识别

情绪是人类对外界刺激所产生的心理反应，不良情绪不利于人身心健康，因此对情绪进行识别很有必要。正确的情绪表征是进行情绪识别的前提。情绪表征方法主要分成两类：(1)离散模型。模型将复杂的情绪看作喜怒哀乐等基本情绪的组合。Plutchik等人(2001)提出了八种基本情绪：愤怒，恐惧，期待，悲伤，厌恶，惊讶，接受和欢乐。(2)连续模型。连续模型将情绪映射到二维或三维模型中，用连续变量表征情绪。心理学家Russell(1980)按照横轴为效价(Valence)，纵轴为唤醒度(Arousal)构建了二维情绪模型，效价从消极到积极，唤醒度从未激活状态到激活状态，如图1所示。

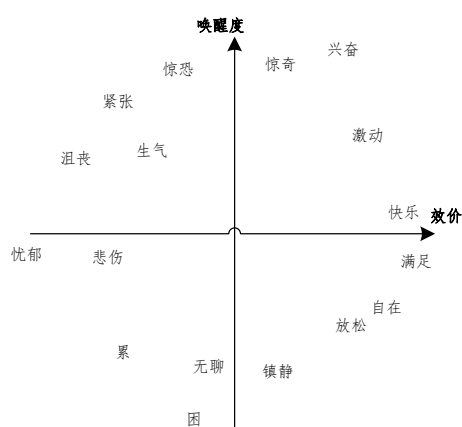


图1 情绪分类模型 (Russell,1980)

Fig.1 Dimensional model of emotions (Russell,1980)

Tan等人(2021)基于NeuCube框架，利用脑电信号EEG实现短期的情绪识别。利用脸部特征点实现脑电信号分割，省去了人工脑电信号分割的步骤。在DEAP和MAHNOB-HCI数据集(Soleymani等, 2012)上的实验结果为，唤醒度分类正确率为78.97%和79.39%，效价分类正确率分别为67.76%和72.12%。该模型的可视化有助于我们理解不同情绪对应的大脑工作机制。

He等人(2021)也基于NeuCube框架利用DEAP数据集进行模型训练和分类。从DEAP数据集的32个电极通道中选择四个—FP1、FP2、F3、F4，将效价分为积极和消极两类。其中编码采用Step Forward(SF)编码，利用网格算法进行参数优化。运用K-近邻算法对来自32个测试者四个电极通道的32*40个样本数据进行验证，得到平均准确率为68.91%，最高分类准确率达到82.50%。

卷积神经网络(CNN)由输入层、隐藏层和输出层组成，通常隐藏层包含卷积层、池化层和全连接层。卷积神经网络在很多领域都取得了很好的成绩，比如在图像识别方向准确性甚至超过人类。但由于CNN存在功耗高、不具备生物可解释性等缺点，许多学者尝试将传统CNN转换为脉冲卷积神经网络，希望在保证分类准确率的前提下，减少网络消耗的能耗。Yan等人(2022)采用迁移学习的方法，先进行CNN网络训练，再将CNNs权重传递给等效的SNNs，实现CNNs到SNNs的转换，最终实现脑电信号的分类。CNNs唤醒维度模型和迁移的SNNs结构如图2所示。效价维度模型与唤醒维度模型类似，只在第六层多了DropOut层防止过拟合。实验结果最终表现为：在DEAP数据集的效价维度和唤醒维度上准确率分别达到了82.75%和84.22%，而能耗只有CNNs的13.8%。

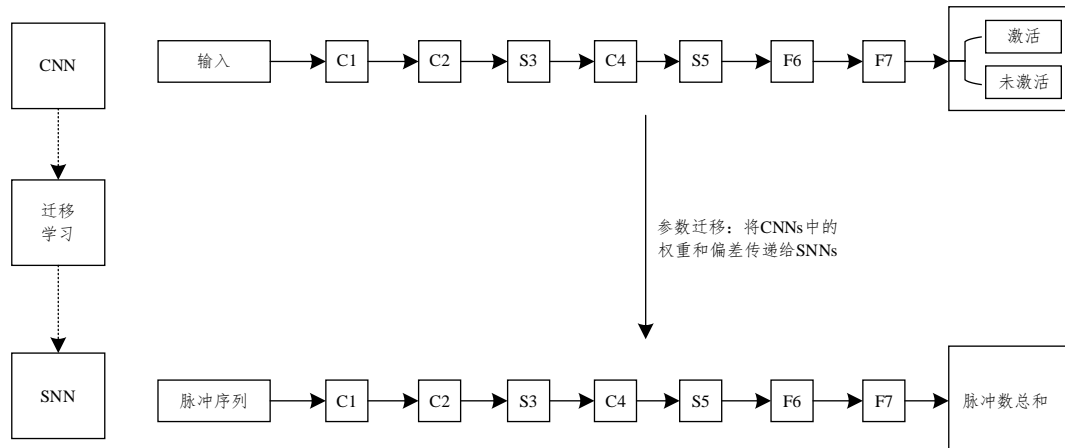


图2 CNNs 唤醒维度模型和迁移的SNNs结构示意图 (Yan 等, 2022)

Fig.2 Schematic diagram of the CNNs wake-up dimensional model and the structure of the migrated SNNs (Yan et al., 2022)

2.1.2 认知分类

认知过程是指在大脑中想象运动动作而没有肢体运动。Kasabov等人(2015)利用NeuCube模型对收集到的7名实验者的五种认知进行分类,包括放松、想象写信写作、乘法计算、计数和图形旋转。该研究证明了采用NeuCube模型进行脑电数据建模和分析是切实可行的,可以为其他时空数据提供新的分析手段。

Doborjeh等人(2016)基于NeuCube框架,对三组上瘾状况受试者——未经治疗的阿片类成瘾者、接受美沙酮治疗(MMT)的阿片成瘾者和健康对照组,在Go/Nogo认知任务中收集的脑电数据进行分类和分析,利用模型将脑电信号可视化,揭示了MMT对脑功能有潜在的积极作用,有助于脑功能恢复。

2.1.3 运动想象

运动想象脑电是指想象某些运动时的脑电信号。通过脑电信号建立大脑和外部设备的联系,实现对假肢等辅助设备的控制,进而为人们提供帮助。

Virgilio等人(2020)使用BCI Competition IV数据集,针对五种运动想象(MI)任务——左手MI、右手MI、脚MI、舌头MI和休息,分别进行两阶段的二分类,通过对比传统神经网络模型和脉冲神经网络的分类结果,证明使用包含时间特征数据的SNN分类效果最好。其中第一个阶段只考虑数据静态特征,对比了SNN模型和传统的MLP网络。采用功率谱密度(PSD)和小波分解进行特征提取,使用四种分类器:MLP[2, 1]、MLP[2n+1, 1]、单个脉冲神经元(SSN)和简单脉冲神经网络(SNN),其中SNN仅三个神经元,对五种任务的所有十类可能分组情况执行二分类过程。分类结果显示:在10个分类场

景中,有7个SNN超过了MLP模型,在大多数情况下准确率为80%。第二阶段比较SNN模型在不同输入情况下的表现。实验结果表明:使用原始EEG信号比特征提取分类结果更好,含有时间特征的数据分类结果与静态数据结果相比有提升,SNN的平均准确率达到83.16%。证明了SNN具有时空信息分析的优势,使用较少数量的神经元可以达到比传统模型更好的结果。

Kumarasinghe等人(2021)基于NeuCube框架和eSPANNet(Kumarasinghe等,2019),提出一种脑启发的脉冲神经网络模型(BI-SNN),实现了对脑电信号的肌肉运动预测。具体做法是将NeuCube框架中监督学习中的eSNN换成eSPANNet(进化的尖峰模式联想神经网络),利用肌电信号EMG和运动学信号当作预期输出进行有监督训练。结果表明BI-SNN延迟更低,精度更好,为脑机接口提供了一个有前途的方向。

2.2 癫痫

癫痫是一种慢性神经疾病,2022年世界卫生组织统计全球大约有5000万癫痫患者,癫痫发作为肌肉抽搐,反复和突然发作可能会危及生命。因此及时对癫痫进行预警很有必要。

目前深度神经网络(DNN)在预测癫痫发作方面已经有很高的精确度(Rasheed等,2021),但因为DNN运算高能耗、高延迟等缺点,限制了基于DNN的方法在医疗健康领域的应用。基于脉冲神经网络低延迟、低能耗的特点,Zarrin等人(2020)通过脉冲神经网络实现脑电信号的分类,从而实现癫痫的预测。采用梯度替代法——sigmoid函数,实现网络的反向传播,框架结构如图3所示。对Kaggle大赛提供的iEEG数据中包含有关癫痫发作、发作前和发作间

敬三类信号的数据进行分析, 最终得到测试集准确率为97.6%, 与之对应的DNN准确率为95%, 卷积DNN准确率为99.6%, 但是后面两者都需要庞大的计算量和能耗, 不适合穿戴设备。因此, 虽然牺牲了部分精度, 但是脉冲神经网络更适合穿戴设备进行数据处理, 从而实现日常生活中疾病的监测和预警。

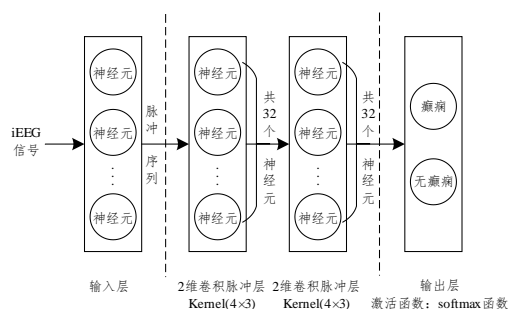


图3 用于检测癫痫发作的深度 SNN 结构(Zarrin 等, 2020)

Fig.3 Deep SNN structures used to detect seizures (Zarrin et al., 2020)

监测对于治疗癫痫至关重要, 脑电图中记录到的发作间期高频振荡(HFO)是癫痫发生、发作倾向、疾病严重程度和治疗反应的潜在生物标志物(Jacobs和Zijlmans, 2020; Fan 等, 2021), 可以通过检测HFO来分析患者癫痫发作。Burelo等人(2022)构造两个并行的SNN网络——核心SNN和伪迹检测SNN, 来分析11个癫痫儿童的20例脑电数据。核心SNN接收80-250 Hz波段的EEG, 网络主要分为两层, 其中输入层由两个神经元组成, 分别产生正脉冲和负脉冲。核心SNN的输出为感兴趣事件(EOI)。伪迹检测SNN输入信号在500-900 Hz频段, 伪迹检测SNN的目的是捕获类似于HFO的振荡, 如果在这个阶段检测到了信号, 则之前核心SNN输出的EOI将不被归为HFO, 若未监测到伪迹, 则将之前的EOI归为HFO。研究结果表明检测到的HFO的发生与癫痫活动相关, 准确率达到80%。

2.3 睡眠分期

睡眠是人类不可或缺的生命活动, 目前全球有很多人存在不同的睡眠问题, 因此对睡眠进行检测有重要的现实性意义。多导睡眠监测(PSG)是在睡眠实验室, 通过计算机设备记录下来的睡眠中的脑电图、眼动电图、肌电图等多项生理性参数。可以利用多导睡眠监测(PSG)进行睡眠疾病诊断和睡眠医学研究。睡眠分期基本可以划分为三个阶段(Iber等, 2007): 觉醒(WA)、非快速眼动(NREM)睡眠和快速眼动(REM)睡眠。非快速眼动(NREM)

睡眠阶段又可以细分为N1, N2, N3期, 其中N1, N2期是浅睡眠期, N3期被称为深度睡眠期或者慢波睡眠(SWS)。不同的睡眠阶段会出现不同的脑电波类型, 医生可以根据脑电波类型来划分所处的睡眠阶段, 但是这种传统的专家标记法效率太低而且容易出错, 因此目前很多人尝试采用机器学习进行睡眠自动分期。传统的机器学习通常是通过特征提取进行分类(Sekkal等, 2022), 容易忽略时空特征, 而脉冲神经网络更适合处理时空数据, 更适合进行睡眠自动分期。

Zhao等人(2019)基于SNN对PSG数据进行睡眠分期。具体过程为首先使用BSA算法将PSG数据转换成脉冲数据, 然后将分类任务分成两个阶段: 第一个阶段使用三分类SNN将样本分为A类(WA)、B类(N1&N2)和C类(SWS&REM), 然后将WA类别的样本去除, 进行第二个阶段的四分类, 将B类(N1&N2)和C类(SWS&REM)进行细分。实验结果为N2和REM分类准确率高, 而WA和SWS阶段分类准确率较低, 最终准确率达到67.18%。

Budhraj等人(2020)利用NeuCube实现对脑电数据的睡眠分期。NeuCube框架大致分为三个部分: 脉冲编码、无监督训练STDP、有监督训练DeSNN(Kasabov等, 2013)。在Spinnaker上提取NeuCube框架的三个特征: 输入脉冲序列中的脉冲个数——脉冲数(SC)、DeSNN期间每个神经元上出现的尖峰数目——每个神经元脉冲(SPN)、DeSNN中最终的权重——最终权重(FW), 采用六种分类器分别进行分类。结果表明, 梯度增强决策树GBDT在SPN + FW两个组合特征上表现最好, 除了在N1阶段, 其他睡眠分期结果准确率大概为80%。

3 心电信号(ECG)分析

心律失常是间歇性的, 常规的检查可能难以发现, 因此有必要对心率进行长期监测, 脉冲神经网络具备低能耗和低延迟的特点, 利用神经形态芯片可以实现可穿戴设备的实时监测。

与临床相关的心跳特征是从心率(也称为RR间期)中提取的。RR间期的特征可以很好地区分心跳类型。Balaji等人(2018)采用将CNNs转换为SNNs的方法实现心电分类: 利用MIT-BIH数据库(Moody等, 2001) 45-50中的五类心跳数据来训练CNN网络, 即正常搏动、室上搏动、室性搏动、融合搏动和未分类搏动。首先将ECG信号通过短时傅里叶变换转

换为时频域特征,然后基于卷积神经网络实现心电图信号分类,最后将训练好的分类器转换为SNN分类器。CNNs的心跳分类准确率为85.92%,SNNs准确率损失0.6%-1%。与CNNs相比,SNNs虽然在精度上有一点损失,但是文章表明了脉冲神经网络下,神经元的激活量和突触触发事件大大减少,相当一部分神经元处于静默状态,因此SNN能耗更低。Yan等人(2021)也通过CNNs转SNNs的方法,实现对MIT-BIH数据库的心电数据分类。其中CNN训练分为两阶段:首先训练二分类CNN,实现异常和正常心电的分类;其次训练一个四分类CNN,实现四种异常心电的进一步细分。研究表明:在二分类中:CNNs平均准确率为81%,转化为SNNs后平均准确率下降到79%,但是SNNs耗能仅为CNNs的0.7%。四分类中:SNNs的准确率与CNNs不相上下,但功耗只有CNN的0.9%。因此,在准确率保持基本不变的情况下,SNNs比CNNs功耗更低,进一步提出有利于可穿戴设备数据处理。

Amirshahi等人(2019)利用MIT-BIH心律失常数据库,训练STDP和reward-modulated STDP(R-STDP)网络模型,实现了可穿戴设备的低功耗、实时心电信号分类。主要内容分为三个部分:脉冲编码、模式提取和分类。结构图如图4所示,其中主要通过无监督的STDP来提取信号中的模式,并用高斯层和抑制层进行协助,其中高斯层用来调节脉冲数量,抑制层有助于STDP捕获不同的模式;采用有监督的R-STDP对提取到的模式进行分类,预测的分类结果为触发频率高的神经元对应的类别,如果预测正确则增大该神经元的突触权重,否则降低。最终实现能耗的降低,并且达到了传统神经网络97.9%精度。

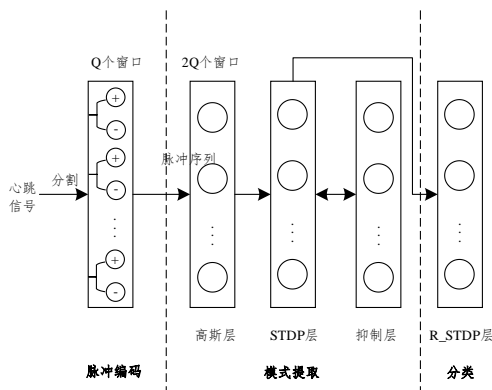


图4 心跳分类结构图 (Amirshahi 等, 2019)

Fig.4 Heartbeat classification structure diagram (Amirshahi et al., 2019)

Das等人(2018)基于无监督学习液体状态机(LSM)实现了对内部临床数据和三个公开数据集的心率估计。三个公开数据集为—MIT-BIH室上性心律失常数据库、MIT-BIH长期数据库(ltdb)和长期ST数据库(ltstdb),分别从不同数据集选择不同类型受试者,然后具体分为三个步骤进行模型训练:脉冲编码、脉冲神经网络和心率估计。首先通过时间编码,然后将脉冲序列输入Izhikevich神经元构成的神经网络,使用STDP进行学习。最后采用模糊c-均值聚类(FCM)实现心率估计,网络实现了高精度和低功耗。

Corradi等人(2019)基于神经形态硬件使用脉冲神经网络(SNN)对心电图进行心跳分类。文章的具体做法为将心电信号直接压缩转换为四通道的脉冲信号,然后输入到循环脉冲神经网络中进行分析处理,最后将其输出作为LIF分类器的输入,最活跃的LIF神经元对应的类别即分类结果。其中LIF分类器首先用标准的支持向量机进行训练,然后将数值结果转换成LIF神经元的权重向量。试验结果在MIT-BIH数据集提供的18类心律失常上达到了95%以上的准确率,并且支持硬件设备。

Rana等人(2021)提出一种二值化SNN来进行心电信号的分类。二值化SNN是指将脉冲神经网络中突触权重设置为1或者-1,来进一步减少训练所需时间和成本,实验精度比传统DNNs有所下降,但功率比常规的SNNs进一步降低了,而且论文中实验结果准确率比传统SNN提升3%。

4 肌电信号(EMG)分析

肌电图主要用于周围神经和肌肉的检测。通过监测肌肉的状态,可以满足人类的特定需求,如可以判断汽车驾驶人员是否存在疲劳驾驶情况、帮助残障人士完成日常生活。为了更好地实现这些需求,可以将表面肌电信号和其他生理信号相结合。

4.1 模式识别

Peng等人(2015)利用NeuCube框架实现对六种手势的识别,最终将时域特征和NeuCube框架结合达到95.33%的准确率。而在没有手工特征的情况下,对原始表面肌电信号数据进行分类时,准确率仅为68.7%。Behrenbeck等人(2019)同样基于NeuCube模型实现了对四种表面肌电信号的分类,正确率达到85%,验证准确率84.8%。

Donati等人(2019)利用SNNs实现了对肌电信

号的分类。首先从十个健全受试者采集剪刀、石头、布对应的肌电信息，然后将原始EMG信号编码为脉冲序列，再将脉冲序列输入SNNs的动态神经形态异步处理芯片，最后分类采用三种方法：支持向量机SVM、Logistic回归方法和脉冲分类，试验结果为前两者正确率分别达到84%和81%，而脉冲分类正确率为74%，但是功耗要低很多。

Tieck等人(2020)利用表面肌电信号实现对弯曲手指的分类，即检测哪个手指弯曲，然后利用分类结果实现机械手指的弯曲。其中分类过程首先将原始信号进行预处理转换为脉冲信号，再进行有监督的离线训练，最后实现在线识别活动手指，实现了人机交互。但是对于多数人来说单独弯曲一根手指可能存在困难，比如弯曲中指时无名指也可能存在不同程度的弯曲，因此文章提出进一步的工作，在关注是否弯曲时，关注弯曲程度。

Ma等人(2020)一种用于在线肌电分类的SRNN系统，实现了肌电的手势分类。主要工作分为三个步骤：脉冲编码、特征提取和分类。网络框架如图5所示，其中编码部分采用自适应增量转换器，即增量编码方式加自适应机制来均衡神经元的放电速率，特征提取部分采用脉冲循环神经网络(SRNN)，这与传统神经网络相比多了空间维度信息。分类部分：利用STDP和软WTA对手势进行分类，其中STDP用来更新神经元之间连接的权重，软WTA相比传统的WTA，它允许几个获胜者，并且只抑制最弱的神经元。最后通过将脉冲序列看作向量计算向量间的距离进行分类。在roshambo肌电数据集的实验分类性能达到85%以上。对于来自Ninapro DB2数据库的分类性能达到55%。虽然Ninapro DB2数据库的分类准确率较低，但是网络具有低延迟和低功耗的优点，为开发能够实时对EMG时间数据进行分类的紧凑型嵌入式和超低功率电子系统提供了思路。

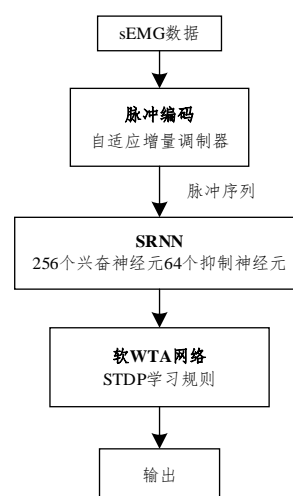


图5 手势分类结构 (Yongqiang Ma 等,2020)

Fig.5 Gesture classification structure(Yongqiang Ma et al.,2020)

4.2 疲劳识别

Xu等人(2021)将肌电信号应用于起重机作业人员的疲劳作业分类。通过测量腓肠肌和肱桡肌的四个点的表面肌电来确定驾驶员在正常状态、临界状态和疲劳状态三种状态的肌电信号，最终实现工作人员是否疲劳驾驶的分类。

5 核磁共振影像(MRI)分析

核磁共振影像是医疗图像分析主要研究领域之一。近年来利用深度学习对MRI的分析已经取得良好的表现，如吕鸿蒙等人(2017)基于增强AlexNet实现阿尔茨海默病的早期诊断。但是由于SNNs计算能耗更低，以及更具备生物可解释性，因此利用SNNs进行MRI研究具有意义。目前使用脉冲神经网络对其研究内容包括功能性核磁共振影像fMRI的分类、阿尔茨海默病预测和分类、脑肿瘤分类和脑肿瘤区域分割等。

5.1 fMRI 的分类

Doborjeh等人(2014)基于NeuCube进化脉冲神经网络，实现对在线功能核磁共振图像的分类。通过让受试者阅读肯定句和否定句，利用NeuCube模型的可视化，根据在不同类型句子下网络有不同的状态和活跃区域进行核磁共振图分类，实验结果达到90%的平均准确率，优于传统的机器学习。此外，否定句的分类准确率为100%，肯定句准确率80%，说明否定句更容易区分，并且在NeuCube模型中可

以观察到，左侧大脑比右侧大脑更加活跃，这一发现可以帮助我们进一步理解大脑功能。

Kasabov等人(2017)进一步利用NeuCube研究fMRI的两种分类。第一种是句子和句子间的分类即上文所提到的肯定句和否定句的分类，第二种区分阅读句子与观察图片，其中图片分类达到80%，进一步说明了不同条件下，大脑的活动状态和功能不同。

5.2 阿尔茨海默病

Doborjeh等人(2021)采用无监督STDP规则，基于纵向(跨时间)核磁共振影像数据构建三维个性化脉冲神经网络(PSNN)，并根据数据集进行预测和分类。实验数据集包含175个样本，均在初始没有痴呆的状况下，历时六年采集三次核磁共振数据。首先将预处理后的MRI数据转换成脉冲序列，然后将其映射到类脑结构的三维PSNN网络，利用无监督STDP规则进行训练，最后利用动态进化SNN(DeSNN)进行有监督学习。实验结果表明，提前两年对认知衰退(轻度认知障碍和老年痴呆)进行预测的准确率达到90%。

阿尔茨海默病(AD)是痴呆症的一种，会导致精神退化。轻度认知障碍(mild cognitive impairment, MCI)是介于AD和健康中间的一种状态。Turkson等人(2021)设计了一种利用脉冲深度卷积神经网络，实现对阿尔茨海默病核磁共振影像的分类。MRI影像包括健康对照组、MCI患者和AD患者，将分类任务转变为三个二分类任务(AD与NC, AD与MCI, 以及NC与MCI)。该方法主要包括预处理、特征提取和分类三个步骤，采用无监督卷积SNN进行AD的特征提取，分类利用有监督脉冲深度卷积神经网络CNN。总体结构如图6所示，其中特征提取阶段分为四层，第2、3、4层采用类似卷积的脉冲层，层内包括数量可变的兴奋性和抑制性神经元，通过侧向抑制，建立兴奋神经元之间的竞争，即每个兴奋性神经元和一个抑制性神经元相连接，并且该抑制性神经元和其他所有抑制性神经元连接。层间采用STDP进行学习。实验结果分别达到了90.15%、87.30%和83.90%的准确率，证明利用SNN进行特征提取效果优于传统的机器学习。

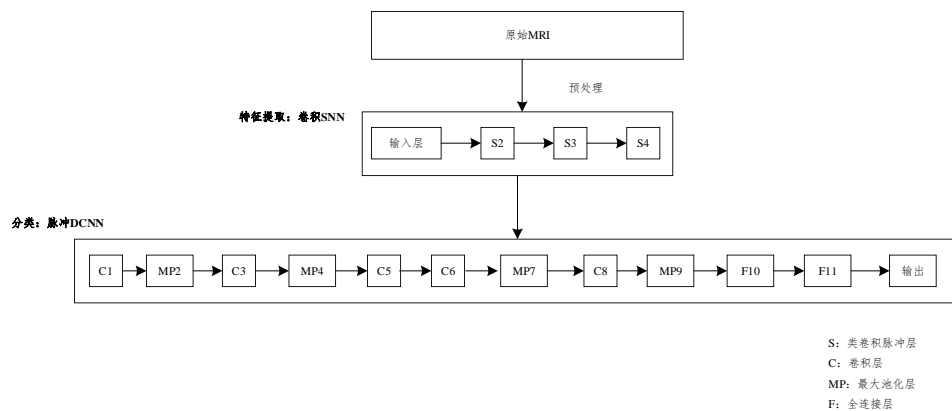


图6 AD分类结构图(Turkson等, 2021)

Fig.6 AD classification structure diagram (Turkson et al., 2021)

5.3 脑肿瘤

Baladhandapani等人(2015)运用脉冲神经网络实现了脑肿瘤的分类。首先采用多维共生矩阵进行特征提取，然后采用遗传算法训练脉冲神经网络分类器。并在哈佛基准数据集和医院的实时数据集上进行了验证，最终得到比传统前馈反向传播网络更好的结果，实验结果为前馈反向传播分类器的准确率为82.85%，SNN分类器的最佳准确率为97.4%。但是由于多维共生矩阵本身的特性，导致在大的良性肿瘤和恶性肿瘤之间分类错误，因此还需要进一步改进。

Ahmadi等人(2021)提出了一种基于MRI的脑肿瘤分割方法:QAIS-DSNN。实验具体分为两部分，针对BraTS2018数据集，先采用预处理来减少噪声，通过量子匹配滤波技术(QMFT)作为局部搜索算子来增强初始图像。第二部分是深度脉冲神经网络(DSNN)和量子人工免疫系统(QAIS)相结合的分割阶段:首先采用整合CRF的卷积和池化层进行训练，然后进入SoftMax层，使用量子人工免疫系统(QAIS)对分割和检测进行优化，最后输出肿瘤结果。整体框架结构如图7所示。对BraTS2018数据集进行75%的训练集和25%的测试集，最终准确率为98.21%，

比同类方法相比,有更好的性能优势,并且缩短了计算时间,执行时间仅为2.58秒。

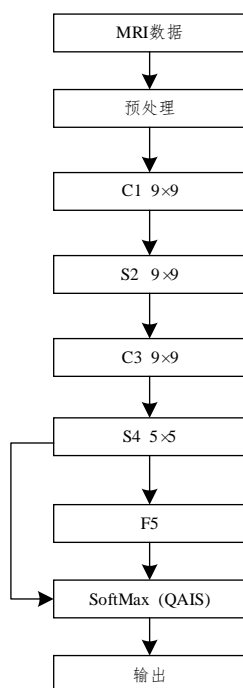


图7 QAIS-DSNN 结构图(Ahmadi M 等,2021)

Fig.7 QAIS-DSNN structure diagram(Ahmadi M et al.,2021)

6 其他应用

6.1 盲人避障

葛辰杰等人(2017)利用Neucube模型分别对移动障碍物和静态障碍物两类样本进行分类,并利用网格搜索进行Neucube模型的参数优化,实验表明,来自静态数据库的40个样本的总准确率、真正率和真负率分别为90.5%、88%和93%;动态障碍物的检测更具难度,因此准确度有所下降,分别为81%、86%和76%,但总体较传统的机器学习有很大提升。

6.2 胃电节律异常检测

Breen等人(2016)利用NeuCube模型,基于胃电图(EGG)对三种常见的异常胃电节律和正常情况进行分类。采用三种编码方式进行比较,分别将EGG信号转换为脉冲序列输入NeuCube模型。结果表明移动窗口(MW)方法给出了最一致和最准确的分类结果。NeuCube模型结构按照电极在人体放置的空间位置作为模型的输入节点,计算节点远离输入节点,在空间上将二者分开,最终模型包含851个输入节点和1000个计算节点,在四分类中最高达到均100%的准确率。

6.3 早产儿呼吸异常检测

Paul等人(2022)使用CNN转化为SNN的方法,对早产儿呼吸异常进行分类。结果表明:1DCNN分类准确率达到97.15%,SNN在稍微降低准确率——准确率93.33%的情况下,功耗降低了18倍,在不改变准确率的前提下,SNN的功耗降低了4倍。

6.4 Covid-19 分类

2019年以来新型冠状病毒的爆发,导致了大量死亡和全球性蔓延。该病毒的检测需要通过各种医学手段,如胸部计算机断层扫描(CT)、胸部X光检查等。其中胸部CT扫描在其中表现良好,因而如何对这些CT扫描图像进行分类来诊断该患者是否患有Covid-19成为了研究热点。Garain等人(2021)提出将SNNs应用于胸部CT扫描图像,构造一个三层深度卷积脉冲神经网络,首先主要利用Gabor滤波器进行预处理,然后编码为脉冲序列,再通过一系列卷积层和池化层后,提取到CT扫描图像中的有效特征,最终使用随机森林进行分类。最终F1得分0.99,优于先前提出的Covid-19分类模型。

6.5 乳腺癌(BrC)检测

根据世卫组织国际癌症研究机构(IARC)官方网站的数据,2020年乳腺癌占全球所有新发癌症病例的11.7%,已成为全球最常见癌症。乳腺肿瘤大致分为良性和恶性两种,早期发现将有利于后期治疗和提高患者存活率。近年来针对乳腺肿瘤的分类和研究也越来越多,主要研究方法包括CNNs和SNNs(陈思文等,2019;Bharati等,2020)。

Fu等人(2022)基于SNN构建能够进行乳腺癌识别的网络。网络使用LIF神经元模型,共分为四部分:预处理、输入层、蓄水池层和读出层。其中预处理利用脉冲卷积神经网络实现特征提取——先通过脉冲卷积神经网络获得的2D特征图计算掩码图,然后将原始图像和掩码图像计算点积,生成显著特征图。输入层采用两种时间编码方式——线性时间编码和基于熵的时间编码,将脉冲序列输入蓄水池层。最后读出神经元使用ReSuMe算法(Ponulak等,2010;Ponulak等,2008)进行训练。模型在BreastMNIST数据库(Yang等,2020)、mini-MIAS数据库(Suckling,1994)、BreaKHis数据库(Spanhol等,2016)准确率都达到了95%以上,提高了分类精度。

7 结论

综上所述，脉冲神经网络在医疗健康领域前景广阔。本文基于EEG、ECG、EMG、MRI等医疗数据，介绍了脉冲神经网络的应用及研究成果，相比于传统神经网络，在基本不损失精度的情况下都实现了低功耗。

总的来说这些模型使用的神经元大多是LIF神经元和Izhikevich神经元模型，学习规则主要以STDP为主，此外还包括梯度下降算法、ReSuMe算法等。涉及到的深度学习网络主要是：以NueCube为主的循环神经网络和将CNNs转换为SNNs的脉冲卷积神经网络。从在线学习和离线学习来看，文章主要是离线学习为主，很少涉及到在线学习，因此对SNN未来提出了在线学习的要求。脉冲神经网络未来可能发展方向为：

1. 通过分析以往的文章发现，大多数研究集中在脉冲神经网络离线学习上。在线学习能够及时反应新的数据环境变化，学习速度比较快，同时随着数据越来越多，在线学习可以利用更多数据不断的进行训练，模型也会不断地更新，从而解决实际问题，更好地实现人机交互，因此扩大对在线学习的研究是很重要的。

2. NeuCube模型不仅可以实现好的分类结果，而且可以将模型可视化，为我们理解和分析大脑功能提供帮助。基于此启发，脉冲神经网络作为计算机技术和生物医学的交叉领域，进行模型设计时，将传统机器学习相关技术和生物医学知识相结合，可能会达到意想不到的实验结果。

参考文献 (References)

Ahmadi M, Sharifi A, Hassantabar S and Enayati S.2021.QAIS-DSNN: tumor area segmentation of MRI image with optimized quantum matched-filter technique and deep spiking neural network.BioMed Research International, 2021 Jan 18. [DOI: 10.1155/2021/6653879]

Amirshahi A and Hashemi M.2019.ECG classification algorithm based on STDP and R-STDP neural networks for real-time monitoring on ultra low-power personal wearable devices.IEEE Transactions on Biomedical Circuits and Systems, 13(6): 1483-1493 [DOI: 10.1109/TBCAS.2019.2948920]

Virgilio G C D, Sossa A J H, Antelis J M and Falcón L E.2020.Spiking neural networks applied to the classification of motor tasks in EEG signals.Neural networks, 122: 130-143 [DOI: 10.1016/j.neunet.2019.09.037]

Brunner, C., Leeb, R., Muller-Putz, G. R., Schlog, A., & Pfurtscheller, G. (2008). BCI competition 2008 Graz data set A. <http://www.bbci.de/competition/iv/>.

Bullmore E and Sporns O. 2009. Complex brain networks: graph theoretical analysis of structural and functional systems. *Nature Reviews Neuroscience*, 2009 Mar;10(3):186-98. [DOI: 10.1038/nrn2575]

Baladhandapani A and Nachimuthu D S. 2015. Evolutionary learning of spiking neural networks towards quantification of 3D MRI brain tumor tissues.*Soft Computing*, 19(7): 1803-1816 [DOI: 10.1007/s00500-014-1364-z]

Balaji A, Corradi F, Das A, Pande S, Schaafsma S, andCathoor F.2018.Power-accuracy trade-offs for heartbeat classification on neural networks hardware.*Journal of low power electronics*, 14(4): 508-519 [DOI: 10.1166/jolpe.2018.1582]

Behrenbeck J, Tayeb Z, Bhiri C, Richter C, Rhodes O, Kasabov N, Espinosa-Ramos JI, Furber S, Cheng G and Conrard J.2019.Classification and regression of spatio-temporal signals using NeuCube and its realization on SpiNNaker neuromorphic hardware.*Journal of Neural Engineering*, 16(2): 026014 [DOI: 10.1088/1741-2552/aafabc]

Bharati S, Podder P and Mondal M.2020.Artificial neural network based breast cancer screening: A comprehensive review.*International Journal of Computer Information Systems and Industrial Management Applications*, 12(2020): 125-137 [DOI: 10.48550/arXiv.2006.01767]

Breen V, Kasabov N, Du P and Calder S.2016.A spiking neural network for personalised modelling of electrogastronomy (EGG)// IAPR Workshop on Artificial Neural Networks in Pattern Recognition.Springer, Cham: 18-25 [DOI: 10.1007/978-3-319-46182-3_2]

Budhreja S, Bhattacharya B S, Durrant S, Doborjeh Z, Doborjeh M and Kasabov N.2020.Sleep Stage Classification using NeuCube on SpiNNaker: a Preliminary Study[C]/2020 International Joint Conference on Neural Networks (IJCNN).Glasgow, UK: IEEE: 1-8 [DOI: 10.1109/IJCNN48605.2020.9207369]

Burelo K, Ramantani G, Indiveri G and Sarnthein J.2022.A neuromorphic spiking neural network detects epileptic high frequency oscillations in the scalp EEG.*Scientific Reports*, 12(1): 1-12 [DOI: 10.1038/s41598-022-05883-8]

Chen H Y, Gao J Y, Zhao D, Wang H Z, Song H and Su Q H.2021.Review of the research progress in deep learning and biomedical image analysis till 2020.*Journal of Image and Graphics*, 26(03): 0475-0486 (陈弘扬, 高敬阳, 赵地, 汪红志, 宋红, 苏庆华.2021.深度学习与生物医学图像分析 2020 年综述.中国图象图形学报, 26(03):0475-0486) [DOI: 10.11834/jig.200351]

Chen S W, Liu Y J, Liu D, Su C, Zhao D Qian L X, Zhang P H. 2019. Alexnet model and adaptive contrast enhancement based ultrasoundimaging classification. *Computer Science*, 46(6A): 146-152 (陈思文, 刘玉江, 刘冬, 苏晨, 赵地, 钱林学, 张佩珩. 2019. 基于 AlexNet 模型和自适应对比度增强的乳腺结节超声图像分类. 计算机科学, 46(6A): 146-152) <https://www.jsjx.com/CN/abstract/abstract18284.Shtml>

- Iber C, Ancoli-Israel S, Chesson A and Quan S F. 2007. The AASM Manuel for Scoring of Sleep and Associated Events-Rules: Terminology and Technical Specification. American Academy of Sleep Medicine 2007.
- Corradi F, Pande S, Stuijt J, Qiao N, Schaafsma S, Indiveri G and Catthoor F. 2019. ECG-based heartbeat classification in neuromorphic hardware// 2019 International Joint Conference on Neural Networks (IJCNN). Budapest, Hungary: IEEE: 2019: 1-8 [DOI: 10.1109/IJCNN.2019.8852279]
- Delorme A, Gautrais J, Van Rullen R, and Thorpe S. 1999. SpikeNET: A simulator for modeling large networks of integrate and fire neurons. *Neurocomputing*, 26-27:989-996 [DOI:10.1016/S0925-2312(99)00095-8]
- Das A, Pradhapan P, Groenendaal W, Adiraju P, Rajan R T, Catthoor F, Schaafsma S, Krichmar J L, Dutt N and Hoof C V. 2018. Unsupervised heart-rate estimation in wearables with liquid states and a probabilistic readout. *Neural networks*, 99: 134-147 [DOI: 10.1016/j.neunet.2017.12.015]
- Doborjeh M G, Capecci E and Kasabov N. 2014. Classification and segmentation of fMRI spatio-temporal brain data with a NeuCube evolving spiking neural network model//2014 IEEE Symposium on Evolving and Autonomous Learning Systems (EALS). Orlando, FL, USA: IEEE: 73-80 [DOI: 10.1109/EALS.2014.7009506]
- Doborjeh M G, Wang G Y, Kasabov N K and Kydd R R. 2015. A spiking neural network methodology and system for learning and comparative analysis of EEG data from healthy versus addiction treated versus addiction not treated subjects. *IEEE Transactions on Biomedical Engineering*, 63(9): 1830-1841 [DOI: 10.1109/TBME.2015.2503400]
- Doborjeh M, Doborjeh Z, Merkin A, Bahrami H, Sumich A, Krishnamurthi R, Medvedev ON, Crook-Rumsey M, Morgan C, Kirk I, Sachdev PS, Brodaty H, Kang K, Wen W, Feigin V and Kasabov N. 2021. Personalised predictive modelling with brain-inspired spiking neural networks of longitudinal MRI neuroimaging data and the case study of dementia. *Neural Networks*, 144: 522-539 [DOI: 10.1016/j.neunet.2021.09.013]
- Donati E, Payvand M, Risi N, Krause R and Indiveri G. 2019. Discrimination of EMG signals using a neuromorphic implementation of a spiking neural network. *IEEE Transactions on Biomedical Circuits and Systems*, 13(5): 795-803 [DOI: 10.1109/TBCAS.2019.2925454]
- Fan Y, Dong L, Liu X, Wang H and Liu Y. 2021. Recent advances in the noninvasive detection of high-frequency oscillations in the human brain. *Reviews in the Neurosciences*, 32(3): 305-321 [DOI: 10.1515/revneuro-2020-0073]
- Garain A, Basu A, Giampaolo F, Velasquez J D and Sarkar R. 2021. Detection of COVID-19 from CT scan images: A spiking neural network-based approach. *Neural Computing and Applications*, 33(19): 12591-12604 [DOI: 10.1007/s00521-021-05910-1]
- Ge C, Kasabov N, Liu Z and Yang J. 2017. A spiking neural network model for obstacle avoidance in simulated prosthetic vision. *Information Sciences*, 399: 30-42 [DOI: 10.1016/j.ins.2017.03.006]
- Gerstner W, Kistler W M, Naud R and Paninski L. 2014. *Neuronal Dynamics: From Single Neurons to Networks and Models of Cognition*. Cambridge: Cambridge University Press
- Hodgkin A L and Huxley A F. 1952. A quantitative description of membrane current and its application to conduction and excitation in nerve. *The Journal of Physiology*, 117(4), 500-54 [DOI: 10.1113/jphysiol.1952.sp004764]
- He Y, Li C and Ju X. 2021. Emotion classification using eeg data in a brain-inspired spiking neural network//2021 11th International Conference on Intelligent Control and Information Processing (ICICIP). Dali, China: IEEE: 433-437 [DOI: 10.1109/ICICIP53388.2021.9642186]
- Hu Y F, Li G Q, Wu Y J and Deng L. 2021. Spiking neural networks: A survey on recent advances and new directions. *Control and Decision*, 36(01): 1-26 (胡一凡, 李国齐, 吴郁杰, 邓磊. 2021. 脉冲神经网络研究进展综述. *控制与决策*, 36(01):1-26) [DOI:10.13195/j.kzyjc.2020.1006]
- Jacobs J and Zijlmans M. 2020. HFO to measure seizure propensity and improve prognostication in patients with epilepsy. *Epilepsy Currents*, 20(6): 338-347 [DOI: 10.1177/1535759720957308]
- Kasabov N and Capecci E. 2015. Spiking neural network methodology for modelling, classification and understanding of EEG spatio-temporal data measuring cognitive processes. *Information Sciences*, 294: 565-575 [DOI: 10.1016/j.ins.2014.06.028]
- Kasabov N K, Doborjeh M G and Doborjeh Z G. 2016. Mapping, learning, visualization, classification, and understanding of fMRI data in the NeuCube evolving spatiotemporal data machine of spiking neural networks. *IEEE Transactions on Neural Networks and Learning Systems*, 28(4): 887-899 [DOI: 10.1109/TNNLS.2016.2612890]
- Kasabov N K. 2014. NeuCube: A spiking neural network architecture for mapping, learning and understanding of spatio-temporal brain data. *Neural Networks*, 52, 62-76 [DOI: 10.1016/j.neunet.2014.01.006]
- Kasabov N K. 2007. *Evolving connectionist systems: the knowledge engineering approach*. London: Springer, (first edition 2002).
- Koelstra S, Muhl C, Soleymani M, Jong S L, Yazdani A, Ebrahimi T, Pun T, Nijholt A, Patras L. 2012. Deap: A database for emotion analysis; using physiological signals. *IEEE Transactions on Affective Computing* 3 (1) (2012) 18-31.
- Kumar I, Bhadauria H S, Virmani J and Thakur S. 2017. A classification framework for prediction of breast density using an ensemble of neural network classifiers. *Biocybernetics and Biomedical Engineering*, 37(1): 217-228 [DOI: 10.1016/j.bbe.2017.01.001]
- Kumarasinghe K, Kasabov N and Taylor D. 2021. Brain-inspired spiking neural networks for decoding and understanding muscle activity and kinematics from electroencephalography signals during hand movements. *Scientific reports*, 11(1): 1-15 [DOI: 10.1038/s41598-021-81805-4]
- Kumarasinghe K, Taylor D and Kasabov N. 2019. espannet: Evolving spike pattern association neural network for spike-based supervised incremental learning and its application for single-trial

- brain computer interfaces//2019 International Joint Conference on Neural Networks (IJCNN).Budapest, Hungary: IEEE: 1-8 [DOI: 10.1109/IJCNN.2019.8852213]
- Kemp b, Zwinderman A H, Tuk B, Kamphuisen H A C and Obery é J J L. 2000. Analysis of a sleep-dependent neuronal feedback loop: the slow-wave microcontinuity of the EEG. *IEEE-BME* 47(9):1185-1194 (2000).
- Izhikevich E M.2003.Simple model of spiking neurons.*IEEE Transactionson Neural Networks*, 14(6), 1569–1572 [DOI: 10.1109/TNN.2003.820440.PMID: 18244602]
- Lv H M, Zhao D and Chi X B.2017.Deep learning for early diagnosis of Alzheimer’s disease based on intensive AlexNet.*Computer Science*, 44(Z6): 50-60(吕鸿蒙, 赵地, 迟学斌.2017.基于增强 AlexNet 的深度学习阿尔茨海默病的早期诊断. *计算机科学*, 44(Z6): 50-60) [DOI: 10.11896/j.issn.1002-137X.2017.6A.011]
- Moody G B and Mark R G. 2021. The impact of the MIT-BIH Arrhythmia Database. *IEEE Eng in Med and Biol*. 20(3):45-50 (May-June 2001). (PMID: 11446209)
- Ma Y, Chen B, Ren P, Zheng N, Indiveri G and Donati E.2020.EMG-based gestures classification using a mixed-signal neuromorphic processing system.*IEEE Journal on Emerging and Selected Topics in Circuits and Systems*, 10(4): 578-587 [DOI: 10.1109/JETCAS.2020.3037951]
- O’Halloran M, McGinley B, Conceicao R C, Morgan F, Jones E and Glavin M.2011.Spiking neural networks for breast cancer classification in a dielectrically heterogeneous breast.*Progress In Electromagnetics Research*, 113: 413-428 [DOI: 10.2528/PIER10122203]
- Paul A, Tajin M A S, Das A, Mongan W M and Dandekar K R.2022.Energy-efficient respiratory anomaly detection in premature newborn infants.*Electronics*, 11(5): 682 [DOI: 10.3390/electronics11050682]
- Peng L, Hou Z G, Kasabov N, Bian G, Vladareanu L and Yu H.2015.Feasibility of NeuCube spiking neural network architecture for EMG pattern recognition// 2015 International Conference on Advanced Mechatronic Systems (ICAMechS).Beijing, China: IEEE: 365-369 [DOI: 10.1109/ICAMechS.2015.7287090]
- Rana A and Kim K K.2021.A novel spiking neural network for ecg signal classification.*Journal of Sensor Science and Technology*, 30(1): 20-24 [DOI: 10.46670/JSST.2021.30.1.20]
- Russell J A.1980.A circumplex model of affect.*Journal of Personality and Social Psychology*, 39(6): 1161–1178 [DOI: 10.1037/h0077714]
- Tan C, Šarlija M and Kasabov N.2021.NeuroSense: Short-term emotion recognition and understanding based on spiking neural network modelling of spatio-temporal EEG patterns.*Neurocomputing*, 434: 137-148 [DOI: 10.1016/j.neucom.2020.12.098]
- Rasheed K, Qayyum A, Qadir J, Sivathamboo S, Kwan P, Kuhlmann L, O’Brien T and Razi A.2021.Machine learning for predicting epileptic seizures using EEG signals: a review.*IEEE Reviews in Biomedical Engineering*, 14, 139-155. [DOI:10.1109/RBME.2020.3008792]
- Sekkal R N, Bereksi-Reguig F, Ruiz-Fernández D, Dib N and Sekkal S. 2022. Automatic sleep stage classification: From classical machine learning methods to deep learning. *Biomed. Signal Process. Control*. 77, 103751. [DOI:10.1016/j.bspc.2022.103751]
- Song S, Miller K D, Abbott L F. 2000. Competitive Hebbian learning through spike-timing-dependent synaptic plasticity. *Nat Neurosci*. 2000 Sep;3(9):919-26. [DOI: 10.1038/78829]
- Soleymani M, Lichtenauer J, Pun T and Pantic M. 2012. A multimodal database for affect recognition and implicit tagging, *IEEE Transactions on Affective Computing* 3 (1) (2012) 42–55
- Tieck J C V, Weber S, Stewart T C, Kaiser J, Roennau A, and Dillmann R.2020.A spiking network classifies human sEMG signals and triggers finger reflexes on a robotic hand.*Robotics and Autonomous Systems*, 131: 103566 [DOI: 10.1016/j.robot.2020.103566]
- Turkson R E, Qu H, Mawuli C B and Eghan M J.2021.Classification of Alzheimer’s disease using deep convolutional spiking neural network.*Neural Processing Letters*, 53(4): 2649-2663 [DOI: 10.1007/s11063-021-10514-w]
- Xu B, Lin M, Liu X and Li F.2021.Fatigue recognition of crane operators based on sEMG signals//2021 6th International Conference on Intelligent Informatics and Biomedical Sciences (ICIIBMS).Oita, Japan: IEEE: 6: 68-71 [DOI: 10.1109/ICIIBMS52876.2021.9651609]
- Yan Z, Zhou J and Wong W F.2021.Energy efficient ECG classification with spiking neural network.*Biomedical Signal Processing and Control*, 63: 102170 [DOI: 10.1016/j.bspc.2020.102170]
- Yan Z, Zhou J and Wong W F.2022.EEG classification with spiking neural network: Smaller, better, more energy efficient.*Smart Health*, 2022: 100261 [DOI: 10.1016/j.smhl.2021.100261]
- Zarrin P S, Zimmer R, Wenger C and Masquelier T.2020.Epileptic seizure detection using a neuromorphic-compatible deep spiking neural network.In *International Work-Conference on Bioinformatics and Biomedical Engineering*.Springer, Cham, 389-394.[DOI: 10.1007/978-3-030-45385-5_34]
- Zhang Q L, Zhao D and Chi X B.2017.Review for deep learning based on medical imaging diagnosis.*Computer Science*, 44(Z11): 1-7.(张巧丽, 赵地, 迟学斌.2017.基于深度学习的医学影像诊断综述. *计算机科学*, 44(Z11):1-7) [DOI: 10.11896/j.issn.1002-137X.2017.11A.001]
- Zhao Z, Lin X and Zhang M.2019.An automatic sleep stage classification approach based on multi-spike supervised learning//2019 12th International Symposium on Computational Intelligence and Design (ISCID).Hangzhou, China: IEEE: 1: 47-52 [DOI: 10.1109/ISCID.2019.00018]
- Fu Q, Dong H B, and Hassaballah M.2022.Breast Cancer Recognition Using Saliency-Based Spiking Neural Network.*Wireless Communications and Mobile Computing*, 2022(4):1-17.[DOI:10.1155/2022/8369368]
- Ponulak F, Kasiński A.2010.Supervised learning in spiking neural networks with ReSuMe: sequence learning, classification, and spike shifting.*Neural Comput*, 22(2):467-510 [DOI:10.1162/neco.2009.11-08-901]

- Ponulak F.2008. Analysis of the ReSuMe Learning Process For Spiking Neural Networks.International Journal of Applied Mathematics & Computer Science, vol.18, no.2, pp.117-127 [DOI:10.2478/v10006-008-0011-1]
- Yang J, Shi R, and Ni B.2021.MedMNIST classification decathlon: a lightweight AutoML benchmark for medical image analysis, 2021 IEEE 18th International Symposium on Biomedical Imaging (ISBI), 2021, pp.191-195 [doi:10.1109/ISBI48211.2021.9434062.]
- Suckling J . 1994. The mammographic image analysis society digital mammogram database, Expert. Medica, Int. Congr. Ser. , vol. 1069, pp. 375-378
- Spanhol F A, Oliveira L S, Petitjean C and Heutte L, 2016.A dataset for breast cancer histopathological image classification, .IEEE Transactions on Biomedical Engineering, vol.63, no.7, pp.1455-1462[DOI:10.1109/TBME.2015.2496264]